



بیست و پنجمین کنفرانس اپتیک و
فوتونیک ایران و یازدهمین کنفرانس
مهندسی و فناوری فوتونیک ایران،
دانشگاه شیراز،
شیراز، ایران.
۹-۱۱ بهمن ۱۳۹۷



طراحی جذب کننده باند باریک به عنوان حسگر گاز پلاسمونیک

فاطمه سالاری، مریم پورماهیادی

آزمایشگاه الکترونیک نوری، دانشکده فنی - بخش برق، دانشگاه شهید باهنر کرمان

Fatemesalary71@gmail.com, Pourmahyabadi@uk.ac.ir

چکیده - در این مقاله، یک جذب کننده باند باریک پلاسمونیک بر اساس ساختار متناوب فلز-دی الکتریک-فلز-دی الکتریک-فلز دو بعدی پیشنهاد و تحلیل عددی شده است. ساختار این قطعه، شامل آرایه ای از نانو نوارهای آلومینیوم و یک فیلم نازک آلومینیوم است که تو سط یک لایه دی الکتریک جدا شده اند. این جذب کننده در ناحیه مادون قرمز نزدیک عمل کرده و می تواند به عنوان یک حسگر ضریب شکست پلاسمونیک استفاده شود. نتایج نشان می دهد که این ساختار دارای حساسیت بالا به اندازه 2300 nm/RIU و همچنین پهنای باند جذب باریک 20 nm با بیشینه جذب بیش از 86% در تابش عمودی است. همچنین عدد شایستگی حسگر پیشنهادی به 115 RIU^{-1} می رسد و بیشینه جذب بهینه نیز می تواند با تنظیم پارامترهای هندسی ساختار بدست آید.

کلیدواژه- جذب کننده پلاسمونیک، ساختار فرامواد، حسگر گاز، ضریب شکست

Design of Narrow band absorber as a plasmonic gas sensor

Fateme Salari, Maryam Pourmahyabadi

Optoelectronic Laboratory, Faculty Of Electrical Engineering, Shahid Bahonar University of kerman,

Fatemesalary71@gmail.com, Pourmahyabadi@uk.ac.ir

Abstract- In this paper, a narrowband plasmonic absorber based on a metal-dielectric-metal-dielectric-metal periodic structure is proposed and numerically investigated, which consists of aluminium nanobar periodic array on a thin aluminium film separated by a dielectric layer. The absorber works at near-infrared region and can be operated as a refractive index sensor with a high sensitivity of around 2300 nm/RIU , a narrow absorption bandwidth (FWHM) of 20 nm and the absorption peak of 86% at normal incidence. Thus, the FOM of the proposed plasmonic sensor can be reached 115 RIU^{-1} . By adjusting the structure parameters, the optimized absorption peak can be achieved.

Keywords: Gas sensor, Metamaterial structure, Plasmonic absorber, Refractive index

مقدمه

در سال‌های اخیر، فرامواد پلاسمونیک به دلیل کاربردهای بالقوه خود در تشخیص با حساسیت بالا توجه زیادی را به خود جلب کرده‌اند. با توجه به خواص عالی تشدید پلاسمون سطحی موضعی در محدود کردن نور در نانو شکاف‌ها و تبدیل آن به انرژی حرارتی، فرامواد فلزی دارای یک مزیت عالی برای طراحی جذب‌کننده‌ها هستند. افزایش جذب موج الکترومغناطیسی برای یک جذب‌کننده فراماده بسیار مطلوب است، در حالیکه تلفات نوری ذاتی فلزات در طراحی قطعه باید مورد توجه قرار گیرد. هنگامی که ساختار فراماده پلاسمونیک توسط گاز احاطه می‌شود، به علت تغییر ضریب شکست محیط یک تغییر طیفی در طول موج تشدید رخ می‌دهد. بنابراین جذب‌کننده‌های باند باریک به دلیل داشتن باند باریکتر جهت بهبود عملکرد سنجش اغلب به عنوان حسگر استفاده می‌شوند [۱]. برخلاف طلا و نقره، آلومینیوم دارای خواصی است که تشدیدهای پلاسمون قوی در بخش‌های زیادی از طیف مرئی تا فرابنفش را فراهم می‌کند. این واکنش گسترده همراه با فراوانی طبیعی، هزینه کم و سازگاری با فرآیندهای ساخت، موجب شده تا از آلومینیوم بعنوان یک ماده پلاسمونیک کم هزینه با خواص و کاربردهای بالقوه شبیه به فلزات سکه‌ای استفاده شود و آن را یک ماده بسیار امیدوارکننده برای کاربردهای تجاری سازد [۲].

طرح پیشنهادی

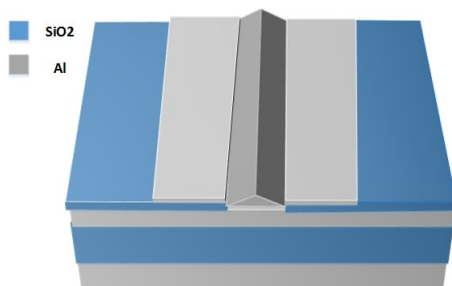
در این مقاله طرح یک حسگر گاز پیشنهاد شده که دارای حساسیت طول موج بالا و پهنای باند جذب باریک است. ساختار پیشنهادی این جذب‌کننده بر اساس ساختار متناوب فلز-دی‌الکتریک-فلز-دی‌الکتریک-فلز-دی‌الکتریک است که شامل آرایه نانو نوارهای آلومینیوم و یک لایه نازک آلومینیوم است که توسط یک لایه دی‌الکتریک دی‌اکسیدسیلیکون از یکدیگر جدا شده‌اند.

یک نانو نوار مثلثی آلومینیوم نیز بین دو نانونوار مستطیلی آلومینیوم قرار گرفته است. شکل ۱- الف ساختار فراماده طراحی شده را نشان می‌دهد. برش عرضی ساختار در شکل ۱- ب نشان داده شده است.

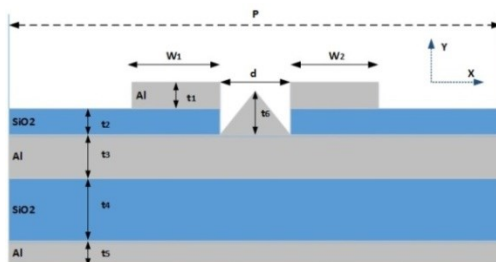
پارامترهای هندسی بهینه‌شده حسگر به شرح زیر تنظیم شده‌اند: شکاف $d=20\text{ nm}$ بین دو نانو نوار آلومینیوم در یک سلول واحد $d=20\text{ nm}$ است و دیگر پارامترهای ساختار شامل عرض نانو نوارها $w_1=w_2=360\text{ nm}$ ، $t_1=20\text{ nm}$ ، $t_2=10\text{ nm}$ ، $t_3=25\text{ nm}$ ، $t_4=170\text{ nm}$ ، $t_5=100\text{ nm}$ ، $t_6=30\text{ nm}$ و $p=2400\text{ nm}$ است.

نتایج شبیه سازی

جهت بررسی عملکرد ساختار پیشنهادی، از روش تفاضل محدود در حوزه زمان^۲ دو بعدی جهت شبیه سازی استفاده شده است. ضرائب شکست در طول موج مرکزی برای آلومینیوم $n=3/25$ و SiO_2 برابر با $n=1/43$ در نظر گرفته شده است.

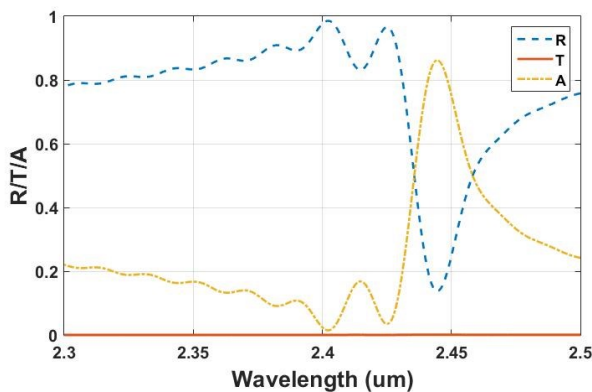


شکل ۱- الف: سلول واحد ساختار حسگر



شکل ۱- ب: برش عرضی ساختار

طیف جذب و بازتاب ساختار در شکل ۳ نشان داده شده است.



شکل ۳ طیف جذب و بازتاب ساختار

بیشینه جذب تشدید ساختار با جذب بیش از ۸۶٪ در $2444/28\text{nm}$ با عرض پیک در نصف مقدار بیشینه 20nm رخ داده است.

در طراحی حسگرها بطور کلی دو پارامتر حساسیت و عدد شایستگی^۴ برای ارزیابی عملکرد آنها استفاده می شود که به شکل زیر تعریف می شوند:

(۱)

$$S = \frac{\Delta\lambda}{\Delta n}$$

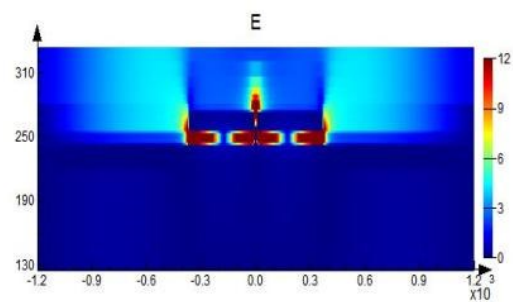
(۲)

$$FOM = \frac{S}{FWHM}$$

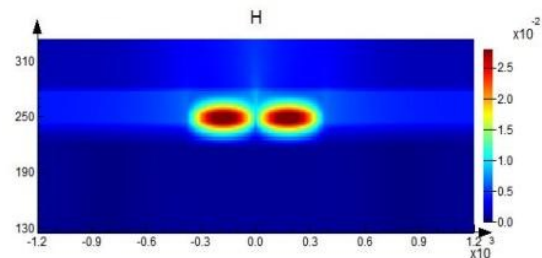
جهت به دست آوردن حساسیت حسگر، طیف بازتاب بر حسب تغییرات ضریب شکست محیط بررسی می شود. شکل ۴-الف نشان دهنده طیف بازتاب بر حسب تغییرات ضریب شکست به اندازه 10^{-2} و شکل ۴-ب و ۴-ج به ترتیب نشان دهنده طیف بازتاب و طیف جذب بر حسب تغییرات ضریب شکست به اندازه 10^{-3} هستند.

مشخصه طیف بازتاب و جذب شبیه سازی شده ساختار جهت ارزیابی عملکرد حسگر بسیار مهم است. یک موج صفحه ای به صورت عمودی در جهت y - به ساختار می تابد. مقادیر بازتاب و انتقال به ترتیب در بالای ساختار و در بستر ساختار اندازه گیری شده اند. جذب ساختار به صورت $A = 1 - T - R$ تعریف می شود. از شرایط مرزی متناوب در جهت x و لایه تطبیق کامل^۳ در جهت y استفاده شده است.

توزیع میدان های الکتریکی و مغناطیسی E و H به ترتیب در شکل های ۲-الف و ۲-ب نشان داده شده است.



شکل ۲-الف: توزیع میدان الکتریکی



شکل ۲-ب: توزیع میدان مغناطیسی

با توجه به شکل ۲-الف تقریباً تمام میدان الکتریکی به لایه نازک دی الکتریک دی اکسید سیلیکون که بین نانونوارهای آلومینیوم و فیلم آلومینیوم قرار گرفته، محدود شده و شدت آن تقریباً ۱۱ برابر بزرگتر از موج فرودی است که نشان می دهد رفتار تزویج در ساختار فرامواد می تواند منجر به افزایش شدت میدان الکتریکی شود.

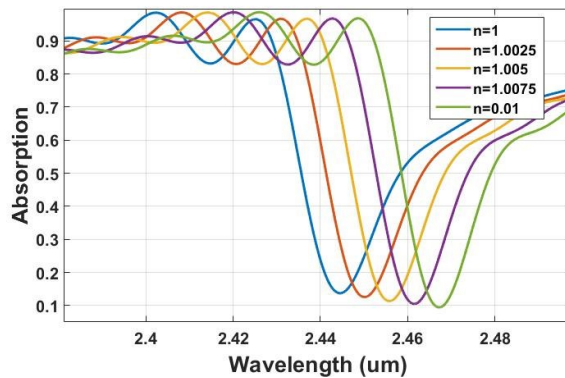
تشدید به اندازه $2/3\text{nm}$ جابجا شده و حساسیت $2300\text{nm}/\text{RIU}$ به دست می‌آید. در نتیجه عدد شایستگی حسگر حدوداً RIU^{-1} ۱۱۵ به دست می‌آید، که نسبت به حسگرهای پلاسمونیک گزارش شده در [۳،۴] دارای حساسیت و FOM بالاتری است. با توجه به استفاده از فلز آلومینیوم در ساختار پیشنهادی، این ساختار در مقایسه با ساختار ذکر شده در [۱] دارای مزیت هزینه ساخت بسیار پایین می‌باشد که در نتیجه بسیار امیدوارکننده برای کاربردهای تجاری است.

نتیجه گیری

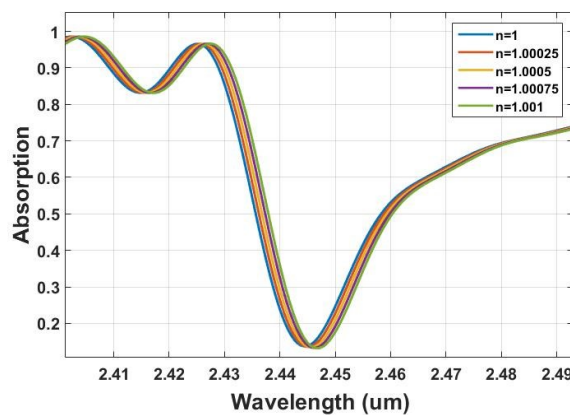
در این مقاله یک جذب کننده باند باریک مبتنی بر ساختار MDMDM با عملکردی در طیف مادون قرمز نزدیک طراحی شده است. نتایج نشان می‌دهد این جذب کننده فراماده دارای پهنای باند جذب باریک 20nm با بیشینه جذب بیش از 86% در تابش نرمال است. این ساختار پلاسمونیک یک عملکرد سنجش عالی با حساسیت طول موج بالا به اندازه $2300\text{nm}/\text{RIU}$ و عدد شایستگی به اندازه RIU^{-1} ۱۱۵ ارائه می‌دهد. با توجه به استفاده از فلز آلومینیوم در ساختار پیشنهادی، این ساختار دارای مزیت هزینه ساخت بسیار پایین می‌باشد که در نتیجه برای کاربردهای تجاری مناسب است.

مرجع ها

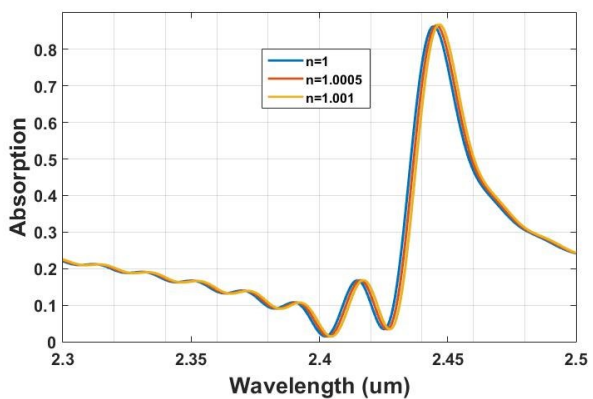
- [1] WU, Dong, et al. Infrared perfect ultra-narrow band absorber as plasmonic sensor. *Nanoscale research letters*, vol. 11, No. 1. pp. 483, 2016.
- [2] KNIGHT, Mark W., et al. Aluminum for plasmonics. *ACS nano*, vol. 8, No. 1. pp. 834-840, 2013.
- [3] Shen, Yang, et al. "Plasmonic gold mushroom arrays with refractive index sensing figures of merit approaching the theoretical limit." *Nature communications*, vol. 4, pp. 2381, 2013.
- [4] LIU, Na, et al. Infrared perfect absorber and its application as plasmonic sensor. *Nano letters*, vol. 10, No. 7. pp. 2342-2348, 2010.
- [5] WU, Dong, et al. Ultra-narrow band perfect absorber and its application as plasmonic sensor in the visible region. *Nanoscale research letters*, vol. 12, No. 1, pp. 427, 2017.
- [6] MAIER, Stefan A.; ATWATER, Harry A. Plasmonics: Localization and guiding of electromagnetic energy in metal/dielectric structures. *Journal of applied physics*, vol. 98, No. 1. pp. 10, 2005.



شکل ۴-الف: طیف بازتاب بر حسب تغییرات ضریب شکست به اندازه 10^{-2}



شکل ۴-ب: طیف بازتاب بر حسب تغییرات ضریب شکست به اندازه 10^{-3}



شکل ۴-ج: طیف جذب بر حسب تغییرات ضریب شکست به اندازه 10^{-3}

هنگامی که ضریب شکست به اندازه 10^{-2} تغییر می‌کند، طول موج تشدید از 2444nm به 2466nm جابجا می‌شود و در نتیجه حساسیت حسگر $2300\text{nm}/\text{RIU}$ به دست می‌آید، که در مقایسه با حسگر گزارش شده در [۵] دارای حساسیت بسیار بالاتری است. همچنین با تغییر ضریب شکست به اندازه 10^{-3} طول موج